

(株) 神戸製鋼所 中央研究所 成田貴一 尾上俊雄
石井照朗 ○草道竜彦

1. 緒言： エレクトロスラグ融解法において、熔融スラグは凝固スラグ殻を形成し、このスラグ殻が熱的あるいは電氣的な抵抗体の役割を果たしている。作業時の融解電流の一部はスラグ浴からスラグ殻を通して鋳型へ流れ、絶縁鋳型 (Insulated Mold) でフッ化物系スラグを用いる場合、作業条件によっては鋳型-鋳塊間にスパークが発生して鋳塊表面に欠陥が生じることもある。このようなスラグ殻の関与する電氣的現象はまだ十分には解明されているとはいえない。本研究では小型ESR炉を用いて、スラグ浴-鋳型および鋳塊-鋳型間の電気抵抗を測定し、スラグ組成の影響について調査した。

2. 実験方法および結果： 測定に用いた炉は、電源容量100kVA、最大2次電流1800Aの交流アーク溶接用トランスおよび80mmφの固定式銅製水冷鋳型である。鋳型-炉底盤間は電氣的に絶縁されており、その抵抗は室温において約1MΩある。作業時の全投入電流 I_T および電極-炉底盤間の電圧 E_{E-B} は連続的に記録され、電極(45mmφ)における電圧降下は1mで約1V程度ある。鋳型への漏洩電流によると考えられる鋳型-炉底盤間の電圧 E_{M-B} を定常融解期において2、3のスラグについて測定した結果は表1のとおりである。酸化物スラグの場合、鋳型-炉底盤間電圧はほぼ0であるのに対して、フッ化物系スラグではその変動は大きい、電極-炉底盤間電圧 $1/4 \sim 1/3$ に達している。本実験の場合、鋳塊における電圧降下を無視すると鋳型-炉底盤間電圧は鋳型-鋳塊間電圧に等しくなり、鋳塊の凝固収縮あるいは鋳型のテーパーを考慮すると、メタル浴円柱部が鋳塊-鋳型間の電気回路となり、スラグ浴-鋳型の回路とともに、鋳型へのバイパス回路を形成すると推定される。これを図1のような等価回路で表わし、鋳型-炉底盤間に可変抵抗 R_x を接続して、その電圧を測定し、各部分の抵抗を求めた。

表1 鋳型-炉底盤間電圧(V)

slag	E_{M-B}	E_{E-B}
CaO- Al_2O_3	0	28
(CaO- Al_2O_3)-50CaF ₂	7±2	24
CaF ₂ -20CaO	6±2	20
CaF ₂ -35 Al_2O_3	8±2	24

すなわち等価回路から R_x と E_{M-B} の関係は(1)式により

$$E_{M-B}/E_{E-B} = R_x R_{I-M} / (R_{S-M} R_{I-M} + R_x (R_{S-M} + R_{I-M})) \dots (1)$$

表わされ、スラグ浴-鋳型間抵抗 R_{S-M} 、鋳塊(メタル浴円柱部)-鋳型間抵抗 R_{I-M} およびスラグ浴抵抗 R_S を求めることができる。また鋳型への漏洩電流 I_L は E_{M-B} 、 E_{E-B} 、 R_{S-M} 、 R_{I-M} から計算できる。結果の1例は表2のとおりであり、スラグ浴-鋳型間抵抗はCaF₂量とともにいちじるしく減少するのに対して、鋳塊-

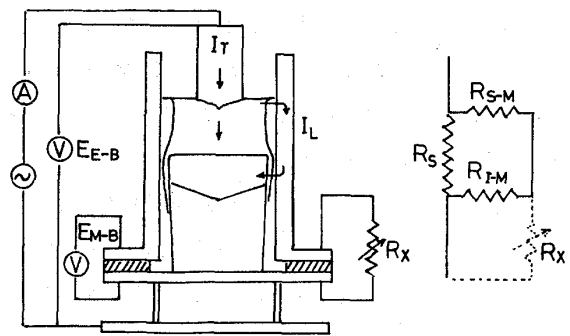


図1 ESR模式図および等価回路

鋳型間抵抗の変化は少ない。これはメタル浴円柱部のスラグ殻厚が薄くなるためと考えられる。鋳型への漏洩電流はこれら抵抗値に対応して、CaF₂量とともに大きくなり、CaF₂-CaOスラグでは全電流の約10%にも達する。非絶縁鋳型(Live Mold)の場合は、鋳塊-鋳型間電圧が0となり、バイパス回路の抵抗が減少して漏洩電流がさらに大きくなる

表2 スラグ浴、スラグ浴-鋳型、鋳塊-鋳型間抵抗および漏洩電流

slag	$R_{S-M}(\Omega)$	$R_{I-M}(\Omega)$	$R_S(\Omega)$	$I_T(A)$	Insulate		Live $I_L/I_T(\%)$
					$I_L(A)$	$I_L/I_T(\%)$	
(CaO- Al_2O_3)-20CaF ₂	1.6	0.2	0.023	980	10	1	1
(CaO- Al_2O_3)-40CaF ₂	0.5	0.2	0.022	1160	35	3	4
CaF ₂ -20CaO	0.1	0.05	0.017	1400	120	9	12

と考えられる。また酸化物系スラグは漏洩電流が少なく、アークスポットなどの表面欠陥防止に有効である。